

# FEM höherer Ordnung

## Beispiele in 2D

Felix Kleber, Johannes Meller, Tim Seger

15. November 2007

# Gliederung

# Gliederung

- ▶ Quadratische und kubische Basispolynome in 2D
- ▶ Konvergenzbetrachtungen in deal.ii
- ▶ Matrixstrukturen und Rechenkosten

## Konstruktion von Basispolynomen

Zu einem gegebenen Element  $\tau \subset \mathbb{R}^d$  wählt man einen Funktionenraum  $P_\tau$  mit  $\dim(P_\tau) = n$  und  $n$  linear unabhängige stetige lineare Funktionale  $B_i : C(\tau) \rightarrow \mathbb{R}$ . Die Basispolynome  $p_j \in P_\tau$  sind dann durch die Forderung  $B_i(p_j) = \delta_{ij}$  eindeutig bestimmt.

# Standardbeispiel

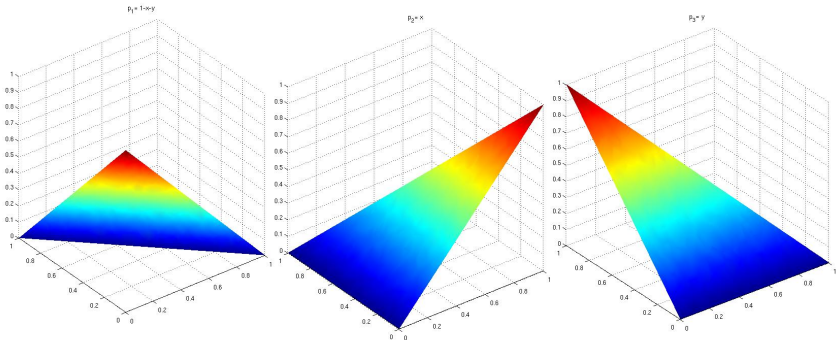
$$\tau \subset \mathbb{R}^d, P_\tau = P_k(\tau)$$

Für  $k=1$ :  $B_i(p) := p(a_i)$ , wobei  $a_i$   $d+1$  verschiedene Punkte in  $\tau$  sind (z.B. Eckpunkte, Mittelpunkt usw.). Die Bestimmung der Basispolynome erfolgt über das aus  $B(p_j) = p_j(a_i) = \delta_{ij}$  resultierende Gleichungssystem.

# Standardbeispiel

$$\tau \subset \mathbb{R}^d, P_\tau = P_k(\tau)$$

Für  $k=1$ :  $B_i(p) := p(a_i)$ , wobei  $a_i$   $d+1$  verschiedene Punkte in  $\tau$  sind (z.B. Eckpunkte, Mittelpunkt usw.). Die Bestimmung der Basispolynome erfolgt über das aus  $B(p_j) = p_j(a_i) = \delta_{ij}$  resultierende Gleichungssystem.



# Quadratische Basispolynome auf Dreiecken

$\tau \subset \mathbb{R}^2$ ,  $P_\tau = P_2(\tau)$ ,  $\dim(P_\tau) = 6$ .

Funktionale  $B_i(p) = p(a_i)$ , wobei die  $a_i$  die Eck- oder Seitenmittelpunkte sind.

Allgemeine Form der  $p_i$ :

$$p_i(\xi, \eta) = a_0 + a_1\xi + a_2\eta + a_3\xi\eta + a_4\xi^2 + a_5\eta^2.$$

Zu erwartende Konvergenzordnung (bei geeigneter Regularität der analytischen Lösung): 2 bzgl.  $\|\cdot\|_{H^1}$  und  $\|\cdot\|_{L^\infty}$ ; 3 bzgl.  $\|\cdot\|_{L^2}$ .

# Quadratische Basispolynome auf Dreiecken

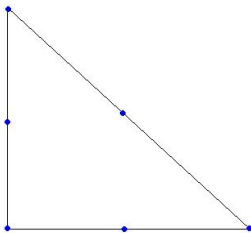
$\tau \subset \mathbb{R}^2, P_\tau = P_2(\tau), \dim(P_\tau) = 6.$

Funktionale  $B_i(p) = p(a_i)$ , wobei die  $a_i$  die Eck- oder Seitenmittelpunkte sind.

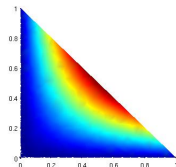
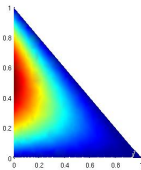
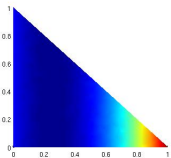
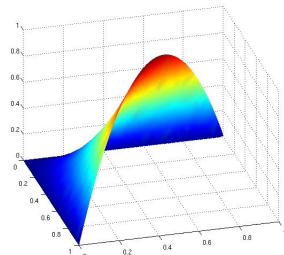
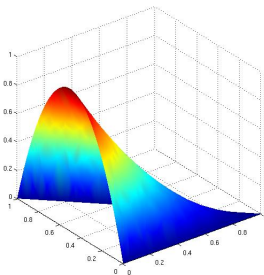
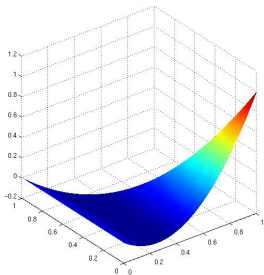
Allgemeine Form der  $p_i$ :

$$p_i(\xi, \eta) = a_0 + a_1\xi + a_2\eta + a_3\xi\eta + a_4\xi^2 + a_5\eta^2.$$

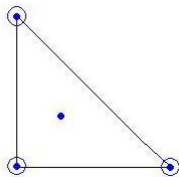
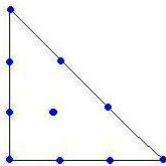
Zu erwartende Konvergenzordnung (bei geeigneter Regularität der analytischen Lösung): 2 bzgl.  $\|\cdot\|_{H^1}$  und  $\|\cdot\|_{L^\infty}$ ; 3 bzgl.  $\|\cdot\|_{L^2}$ .



# Quadratische Basispolynome

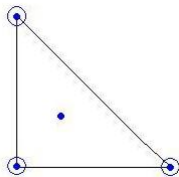
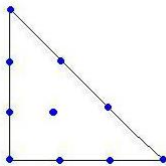


# Kubische Basispolynome auf Dreiecken



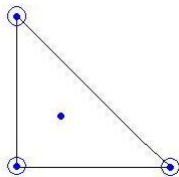
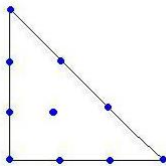
- ▶ Hinzunahme weiterer Punkte: z.B. zwei Punkte pro Dreiecksseite; zusätzlich Schwerpunkt. Funktionale: Auswertung des Polynoms an den gewählten Stellen ( $\rightarrow$  *Lagrange*-Interpolationspolynome).

# Kubische Basispolynome auf Dreiecken



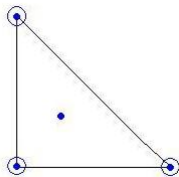
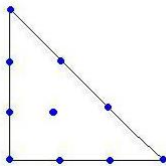
- ▶ Hinzunahme weiterer Punkte: z.B. zwei Punkte pro Dreiecksseite; zusätzlich Schwerpunkt. Funktionale: Auswertung des Polynoms an den gewählten Stellen ( $\rightarrow$  *Lagrange*-Interpolationspolynome).
- ▶ Andere lineare Funktionale: Auswertung der Polynome selbst und ihrer **Ableitungen** ( $\rightarrow$  *Hermite*-Interpolationspolynome).

# Kubische Basispolynome auf Dreiecken



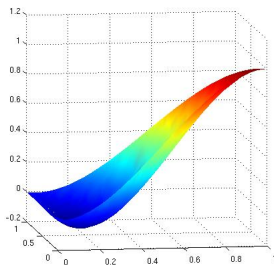
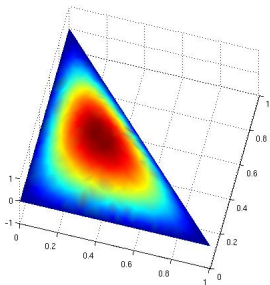
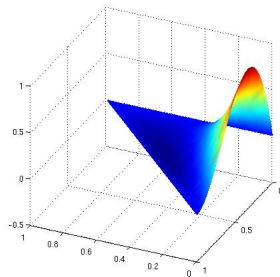
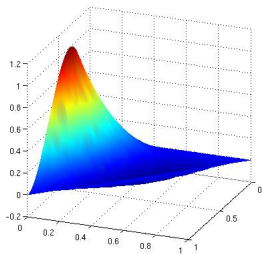
- ▶ Hinzunahme weiterer Punkte: z.B. zwei Punkte pro Dreiecksseite; zusätzlich Schwerpunkt. Funktionale: Auswertung des Polynoms an den gewählten Stellen ( $\rightarrow$  *Lagrange*-Interpolationspolynome).
- ▶ Andere lineare Funktionale: Auswertung der Polynome selbst und ihrer **Ableitungen** ( $\rightarrow$  *Hermite*-Interpolationspolynome).
- ▶  $p(\xi, \eta) = a_0 + a_1\xi + a_2\eta + a_3\xi\eta + a_4\xi^2 + a_5\eta^2 + a_6\xi\eta^2 + a_7\xi^2\eta + a_8\xi^3 + a_9\eta^3$ .

# Kubische Basispolynome auf Dreiecken



- ▶ Hinzunahme weiterer Punkte: z.B. zwei Punkte pro Dreiecksseite; zusätzlich Schwerpunkt. Funktionale: Auswertung des Polynoms an den gewählten Stellen ( $\rightarrow$  *Lagrange*-Interpolationspolynome).
- ▶ Andere lineare Funktionale: Auswertung der Polynome selbst und ihrer **Ableitungen** ( $\rightarrow$  *Hermite*-Interpolationspolynome).
- ▶  $p(\xi, \eta) = a_0 + a_1\xi + a_2\eta + a_3\xi\eta + a_4\xi^2 + a_5\eta^2 + a_6\xi\eta^2 + a_7\xi^2\eta + a_8\xi^3 + a_9\eta^3$ .
- ▶ Konvergenzordnung: 3 bzgl.  $\|\cdot\|_{H^1}$  und  $\|\cdot\|_{L^\infty}$ ; 4 bzgl.  $\|\cdot\|_{L^2}$ .

# Kubische Hermiteische Basispolynome



# Biquadratische Basispolynome auf Vierecken

- ▶ Deal.ii arbeitet mit viereckigen Triangulierungen. Hier müssen alle Basispolynome linear, bzw. quadratisch (usw.) in jeder Variablen sein. Für  $\mathbb{R}^2$  ergeben sich also bilineare, biquadratische,... Basispolynome.

# Biquadratische Basispolynome auf Vierecken

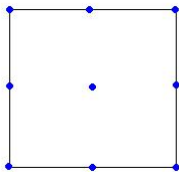
- ▶ Deal.ii arbeitet mit viereckigen Triangulierungen. Hier müssen alle Basispolynome linear, bzw. quadratisch (usw.) in jeder Variablen sein. Für  $\mathbb{R}^2$  ergeben sich also bilineare, biquadratische,... Basispolynome.
- ▶  $p(\xi, \eta) =$   
 $a_0 + a_1\xi + a_2\eta + a_3\xi\eta + a_4\xi^2 + a_5\eta^2 + a_6\xi\eta^2 + a_7\xi^2\eta + a_8\xi^2\eta^2$

# Biquadratische Basispolynome auf Vierecken

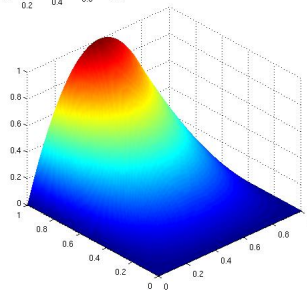
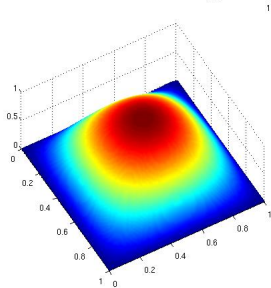
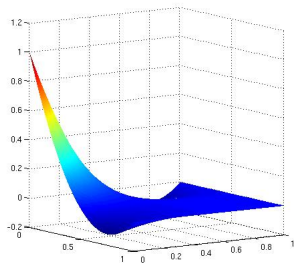
- ▶ Deal.ii arbeitet mit viereckigen Triangulierungen. Hier müssen alle Basispolynome linear, bzw. quadratisch (usw.) in jeder Variablen sein. Für  $\mathbb{R}^2$  ergeben sich also bilineare, biquadratische,... Basispolynome.
- ▶  $p(\xi, \eta) =$   
 $a_0 + a_1\xi + a_2\eta + a_3\xi\eta + a_4\xi^2 + a_5\eta^2 + a_6\xi\eta^2 + a_7\xi^2\eta + a_8\xi^2\eta^2$
- ▶ Konvergenzordnung: 2 bzgl.  $\|\cdot\|_{H^1}$  und  $\|\cdot\|_{L^\infty}$ ; 3 bzgl.  $\|\cdot\|_{L^2}$ .

# Biquadratische Basispolynome auf Vierecken

- ▶ Deal.ii arbeitet mit viereckigen Triangulierungen. Hier müssen alle Basispolynome linear, bzw. quadratisch (usw.) in jeder Variablen sein. Für  $\mathbb{R}^2$  ergeben sich also bilineare, biquadratische,... Basispolynome.
- ▶  $p(\xi, \eta) = a_0 + a_1\xi + a_2\eta + a_3\xi\eta + a_4\xi^2 + a_5\eta^2 + a_6\xi\eta^2 + a_7\xi^2\eta + a_8\xi^2\eta^2$
- ▶ Konvergenzordnung: 2 bzgl.  $\|\cdot\|_{H^1}$  und  $\|\cdot\|_{L^\infty}$ ; 3 bzgl.  $\|\cdot\|_{L^2}$ .
- ▶ Funktionale: Polynomauswertung; auch möglich: Auswertung von 1. oder 2.Ableitung

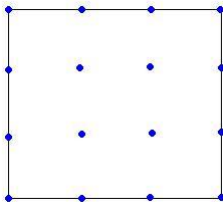


# Biquadratische Basispolynome

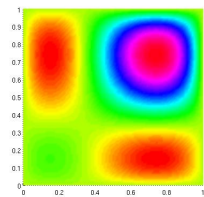
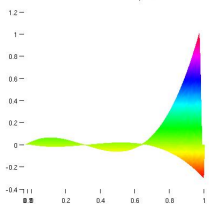
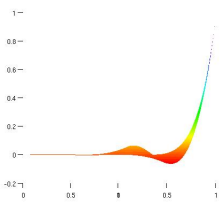
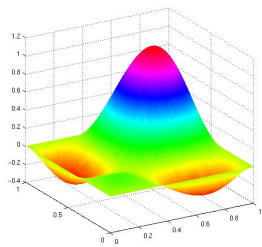
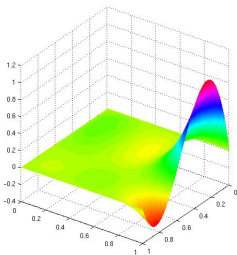
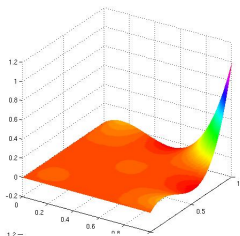


# Bikubische Basispolynome

- ▶  $p(\xi, \eta) = a_0 + a_1\xi + a_2\eta + a_3\xi\eta + a_4\xi^2 + a_5\eta^2 + a_6\xi\eta^2 + a_7\xi^2\eta + a_8\xi^2\eta^2 + a_9\xi^3 + a_{10}\eta^3 + a_{11}\xi^3\eta + a_{12}\xi\eta^3 + a_{13}\xi^3\eta^2 + a_{14}\xi^2\eta^3 + a_{15}\xi^3\eta^3$
- ▶ Konvergenzordnung: 3 bzgl.  $\|\cdot\|_{H^1}$  und  $\|\cdot\|_{L^\infty}$ ; 4 bzgl.  $\|\cdot\|_{L^2}$



# Bikubische Basispolynome



## Bemerkungen

- ▶ Aus den Basispolynomen muss die Nodalbasis  $\{\Phi_i\}$  sinnvoll „zusammengebaut“ werden.

## Bemerkungen

- ▶ Aus den Basispolynomen muss die Nodalbasis  $\{\Phi_i\}$  sinnvoll „zusammengebaut“ werden.
- ▶ Da für höhere Polynomgrade immer mehr Stützpunkte benötigt werden, wird die Steifigkeitsmatrix schnell sehr groß und immer stärker besetzt (s.u.).

## Bemerkungen

- ▶ Aus den Basispolynomen muss die Nodalbasis  $\{\Phi_i\}$  sinnvoll „zusammengebaut“ werden.
- ▶ Da für höhere Polynomgrade immer mehr Stützpunkte benötigt werden, wird die Steifigkeitsmatrix schnell sehr groß und immer stärker besetzt (s.u.).
- ▶ Die verwendete FEM-Methode ist dem gegebenen Problem anzupassen.

## Bemerkungen

- ▶ Aus den Basispolynomen muss die Nodalbasis  $\{\Phi_i\}$  sinnvoll „zusammengebaut“ werden.
- ▶ Da für höhere Polynomgrade immer mehr Stützpunkte benötigt werden, wird die Steifigkeitsmatrix schnell sehr groß und immer stärker besetzt (s.u.).
- ▶ Die verwendete FEM-Methode ist dem gegebenen Problem anzupassen.

# Test mit Deal.ii

Das Programm Laplace Variations wurde so abgeändert, dass man den Polynomgrad variieren kann und Laufzeiten sowie Matrixstrukturen angezeigt werden. Es wurden Basispolynome vom Grad 1 bis 5 verwendet.

## Test mit Deal.ii

Das Programm Laplace Variations wurde so abgeändert, dass man den Polynomgrad variieren kann und Laufzeiten sowie Matrixstrukturen angezeigt werden. Es wurden Basispolynome vom Grad 1 bis 5 verwendet. Testgleichung in  $\Omega := (-1, 1)^2$ :

$$\begin{aligned}-\Delta u &= 42x^5 + 30x^4 + 30y^4 + 30x^4y^5 + 20x^6y^3 \\ u|_{\partial\Omega} &= x^7 + x^6 + y^6 + x^6y^5.\end{aligned}$$

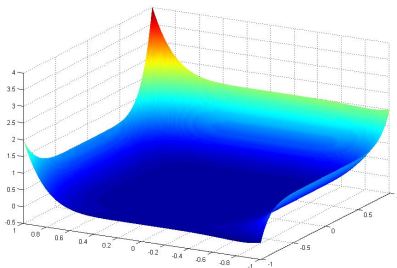
## Test mit Deal.ii

Das Programm Laplace Variations wurde so abgeändert, dass man den Polynomgrad variieren kann und Laufzeiten sowie Matrixstrukturen angezeigt werden. Es wurden Basispolynome vom Grad 1 bis 5 verwendet. Testgleichung in  $\Omega := (-1, 1)^2$ :

$$-\Delta u = 42x^5 + 30x^4 + 30y^4 + 30x^4y^5 + 20x^6y^3$$

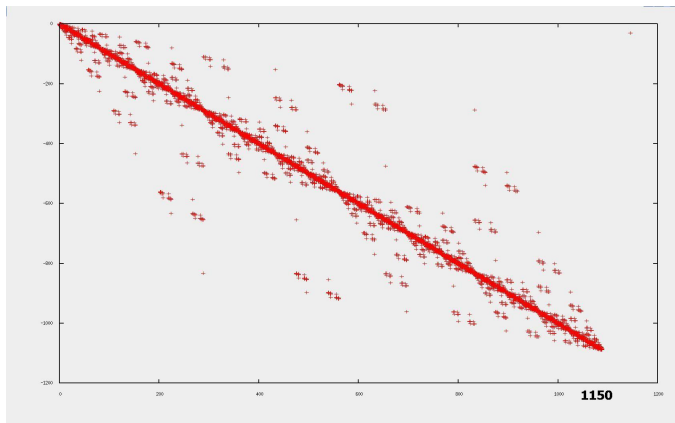
$$u|_{\partial\Omega} = x^7 + x^6 + y^6 + x^6y^5.$$

Analytische Lösung:  $x^7 + x^6 + y^6 + x^6y^5$ .



# Matrixstrukturen

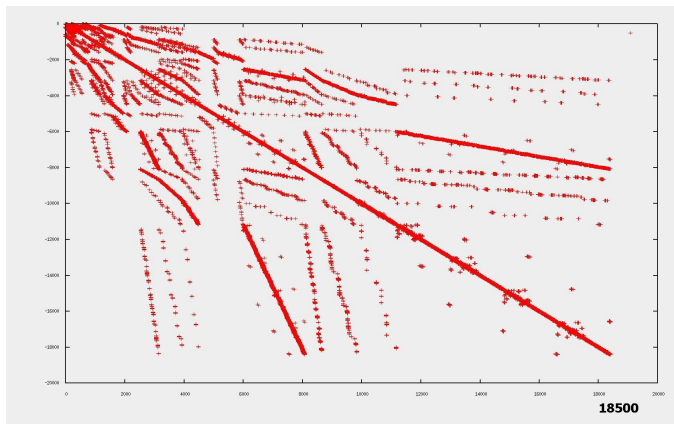
## Lineare Finite Elemente



Laufzeit: 3,3s und  $\|u_h - u\|_\infty = 1,6 \cdot 10^{-3}$  bei 5 Verfeinerungen.

# Matrixstrukturen

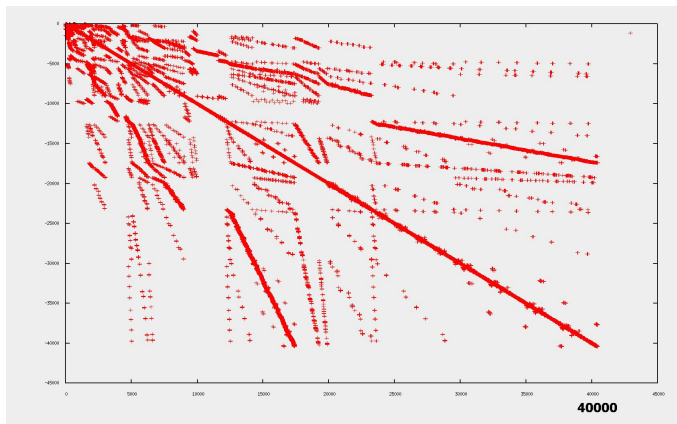
## Quadratische Finite Elemente



Laufzeit: 18,3s und  $\|u_h - u\|_\infty = 7,7 \cdot 10^{-6}$  bei 5 Verfeinerungen.

# Matrixstrukturen

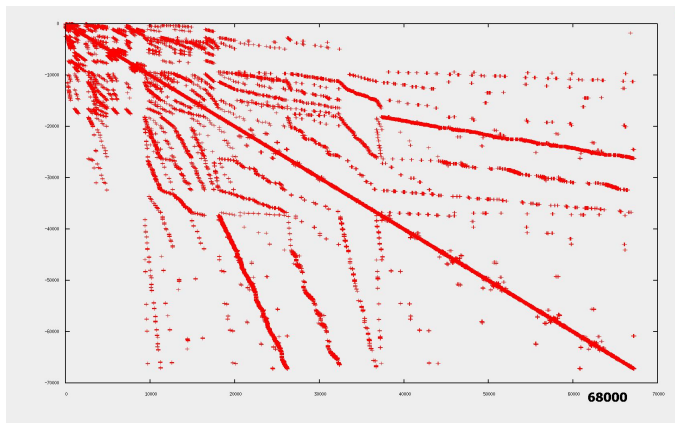
## Kubische Finite Elemente



Laufzeit: 71,0s und  $\|u_h - u\|_\infty = 5 \cdot 10^{-6}$  bei 5 Verfeinerungen.

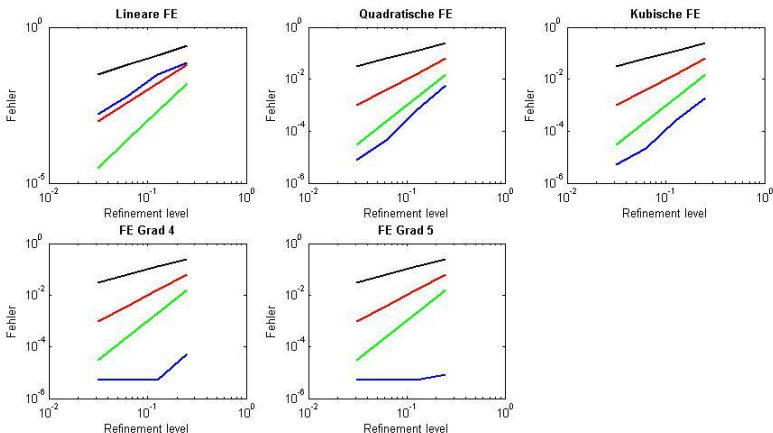
# Matrixstrukturen

## Finite Elemente - Grad 4



Laufzeit: 201,1s und  $\|u_h - u\|_\infty = 5 \cdot 10^{-6}$  bei 5 Verfeinerungen.

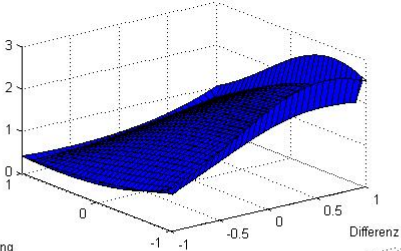
# Konvergenzordnung



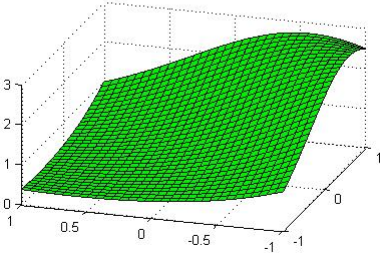
Problem liegt wahrscheinlich in der Quadraturformel

# Einfluss der Quadraturformel

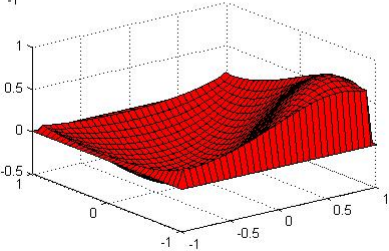
deal.ii-Lösung



Exakte Lösung



Differenz



**Fragen ???**

**Fragen ???**

Danke für's Zuhören!